

بهینه‌سازی چندمنظوره‌ی ورقه‌های کامپوزیتی هیبریدی با قید فرکانس با استفاده از بهینه‌سازی گروه ذرات*

(یادداشت پژوهشی)

حسین همتیان^(۱) عبدالحسین فردیون^(۲)

چکیده اصلاح خواص مکانیکی کامپوزیت‌ها براساس نسبت استحکام به وزن در کاربردهای وسیع مورد توجه بوده است. در این کاربردها عقبیه بر این است که مقاومت‌های و در عین حال سبکترین و مقرون به صرفه‌ترین سازه را داشته باشیم. این سه عامل معمولاً در برابر هم عمل می‌کنند. به همین دلیل، کاربرد الگوریتم‌های بهینه‌سازی برای اصلاح خواص مکانیکی مواد کامپوزیت از اهمیت بالایی برخوردار می‌باشد. کاربرد الگوریتم بهینه‌سازی گروه ذرات (PSO) در بهینه‌سازی صفحات کامپوزیت متقارن متعادل هیبریدی به منظور دست‌یابی به کمترین وزن و هزینه‌ی توأم با در نظر گرفتن قید فرکانس بیان شده است. در این تحقیق تابع هدف، به عنوان ترکیبی از وزن و هزینه بهینه شده است. وزن و هزینه تابع تعداد و جنس لایه‌ها می‌باشند. در حالی که، فرکانس طبیعی علاوه بر عوامل فوق تابعی از زاویه الیاف و لایه‌چینی نیز هست. نتایج بدست آمده از الگوریتم PSO (شامل لایه‌چینی‌های بهینه و تعداد لایه‌های تقویت شده با الیاف کردن و شیشه) با نتایج الگوریتم‌های ژنتیک (GA) و کلونی مورچه‌ها (ACO) مقایسه شد. نتایج، مزیت کامپوزیت هیبریدی را تأیید کرد و نشان داد که PSO به نتایجی برابر و حتی در مواردی به نتایجی بهتر از الگوریتم‌های ذکرشده رسیده است. این الگوریتم بسیار مفید و قابل رقابت با سایر الگوریتم‌های فرا ابتکاری می‌باشد.

واژه‌های کلیدی کامپوزیت هیبریدی متعادل متقارن، بهینه‌سازی چندمنظوره، قید فرکانس، بهینه‌سازی گروه ذرات.

Multi-objective Optimization of Hybrid Laminated Composites under a Frequency Constraint by Using the Particle Swarm Optimization

H. Hemmatian

A. Fereidoon

Abstract Improving mechanical properties of composites based on strength-to-weight ratio has been gained much attention in various applications. Having the most resistant and at the same time the lightest and the most economical structure is believed as an aim in these applications. These three factors are usually opposed to each other. So, applying optimization algorithms for improving mechanical properties of composites is very important. Particle swarm optimization (PSO) is used in balanced symmetric hybrid laminated composites for accessing the lowest weight and cost based on the first natural frequency. In this research, the objective function is a combination of the weight and cost which are both functions of the numbers and material of layers, while the natural frequency, in addition to the above factors, is a function of the fibers angle and the stacking sequence, too. The results obtained from PSO algorithm (including optimized stacking sequences and the number of plies reinforced by either glass or graphite fibers) are compared with obtained results from genetic algorithm (GA) and ant colony optimization (ACO). The results confirm the advantages of hybrid composites and reveal that PSO provide the same results and in some cases even better sequences relative to the mentioned algorithms. This algorithm is so useful and competitive with respect to other heuristic algorithms.

Key Words Symmetric Balanced Hybrid Composite, Multi-Objective Optimization, Frequency Constraint, Particle Swarm Optimization

* تاریخ دریافت مقاله ۹۰/۵/۱۹ و تاریخ پذیرش آن ۹۱/۱۲/۶ می‌باشد.

(۱) نویسنده‌ی مسؤول: دانشجوی دکتری، دانشکده مهندسی مکانیک، دانشگاه سمنان.

(۲) استاد، دانشکده مهندسی مکانیک، دانشگاه سمنان.

مقدمه

به کمک بهینه‌سازی چندمنظوره، بهینه‌ای از سازه‌های کامپوزیتی را ارائه کرده‌اند. بهینه کردن فرکانس اصلی و هزینه با استفاده از الگوریتم ژنتیک توسط طهانی و همکارانش [10] و با استفاده از الگوریتم تبرید شبیه‌سازی شده توسط کلاهان و همکارانش [11] انجام شده است. تانگ یانفا و همکارانش [12] براساس معیارهای شکست و تورق و امکار و همکارانش [13] بر اساس معیار وزن، ورقهای کامپوزیتی را با استفاده از الگوریتم PSO بهینه کرده‌اند. ضمن این‌که ریو جی و همکارانش [14] به طراحی ورقهای کامپوزیتی PSO براساس قابلیت اطمینان با استفاده از الگوریتم PSO پرداخته‌اند. بهینه‌سازی پانل ساندویچی هسته منشوری براساس الگوریتم گروه ذرات نیز با رعایت قیدهای تسلیم و کمانش توسط همتیان و همکارانش انجام شده است [15].

الگوریتم‌های بهینه‌سازی کلونی مورچه‌ها و گروه ذرات دو الگوریتم برجسته بر اساس شبیه‌سازی برهم‌کنش‌های بین اعضای یک گونه‌ی خاص در جستجوی منبع غذا می‌باشند [16]. این الگوریتم‌ها از جمله الگوریتم‌های تکاملی می‌باشند که در حل مسائل بهینه‌سازی کاربرد وسیعی پیدا کرده‌اند. الگوریتم گروه ذرات اولین بار توسط کندی و ابھارت [17] ارائه شد. این الگوریتم برگرفته از رفتار اجتماعی دسته‌ی پرندگان، زنبورها و ماهی‌ها است که حرکات فیزیکی آن‌ها را برای اینمنی و یافتن بهترین منبع غذا تنظیم می‌کند [18, 19].

برای مدل‌سازی نظم موجود در حرکت جمعی این جانداران دو دیدگاه درنظر گرفته شده است [15]. یک بعد، تعاملات اجتماعی موجود بین اعضای گروه است و بعد دیگر امتیازات فردی است که ممکن است هر یک از اعضای گروه واجد آنها باشد. در بعد اول همه‌ی اعضای گروه موظف‌اند همواره موقعیت خود را با تبعیت از بهترین فرد گروه تغییر دهند و از بعد دوم لازم است تک تک اعضاء بهترین موقعیت را که شخصاً

مواد کامپوزیت نسبت به مواد ایزوتروپیک دارای قابلیت طراحی سبک‌تر و مقاوم‌تر می‌باشند. در کاربردها عموماً مقاوم‌ترین، سبک‌ترین و مقرون به صرفه‌ترین سازه‌ی مورد نظر می‌باشد. این سه عامل برای رسیدن به هدف بهینه در چیدمان لایه‌های کامپوزیت با هم مشارکت می‌کنند، به نحوی که برای تولید کامپوزیت با سفتی بالا و هزینه‌ی پایین، به‌طور کلی از ماده پرهزینه‌تر و سفت‌تر در لایه‌های خارجی استفاده می‌شود تا صلابت و سفتی کافی را فراهم کند. در عوض موادی در لایه‌های داخلی استفاده می‌شوند که دارای سفتی پایین‌تر و هزینه کم‌تری می‌باشند [1]. تنش، وزن و فرکانس‌های طبیعی مواردی هستند که در یک فرآیند بهینه‌سازی چندمنظوره در ورقه‌های کامپوزیت بهینه می‌شوند.

ماکریم کردن فرکانس‌های طبیعی خصوصاً فرکانس بحرانی اصلی، به‌منظور کاهش خطر تشدید ایجادشده بر اثر تحیریک خارجی در طراحی ورقه‌ها اهمیت دارد. در این فرآیند بهینه‌سازی، متغیرهای طراحی، تعداد، نوع مواد و ضخامت لایه‌های مرکزی و سطحی، همچنین جهت الیاف می‌باشند. در بسیاری از کاربردهای مهندسی استفاده از لایه‌های استاندارد با ضخامت معین و تعداد محدودی از زوایا معقول می‌باشد.

تابع تک‌منظوره بیشینه کردن فرکانس اصلی با استفاده از متغیرهای پیوسته توسط برت [2] و ریس [3] و گرنستد [4] برای ورقهای چند لایه‌ای ارائه شده است. طراحی مشابه برای ورقهای دوتایی عرضی [5] و ورقهای غیر ایزوتروپیک [6] انجام شده است. طراحی مینیمم هزینه برای ورقهای لایه‌ای توسط عدلی [7] ارائه شده است.

عدلی و وریجنکو [8] پیرامون طراحی بهینه‌ی لایه‌های کامپوزیت هیبریدی متقاضی تحت ارتعاشات آزاد با قید فرکانس اصلی بحث کرده‌اند. اسپالینو و همکارانش [9]

$$\begin{aligned} D_{11} \frac{\partial^4 w}{\partial x^4} + 4D_{16} \frac{\partial^4 w}{\partial x^3 \partial y} + 2(D_{12} + 2D_{66}) \frac{\partial^4 w}{\partial x^2 \partial y^2} \\ + 4D_{26} \frac{\partial^4 w}{\partial x \partial y^3} + D_{22} \frac{\partial^4 w}{\partial y^4} = \rho h \frac{\partial^2 w}{\partial t^2} \end{aligned} \quad (1)$$

که در آن w تغییر شکل در راستای محور z می‌باشد و ρ چگالی متوسط کامپوزیت در جهت ضخامت از رابطه زیر به دست می‌آید:

$$\rho = h^{-1} \int_{-h/2}^{h/2} \rho^{(k)} dz = \frac{1}{N} \sum_{k=1}^N \rho^{(k)} \quad (2)$$

$\rho^{(k)}$ چگالی لایه k می‌باشد. D_{ij} در معادله (۱) به صورت زیر تعریف می‌شود:

$$D_{ij} = \sum_{k=1}^N \int_{z_k}^{z_{k-1}} \bar{Q}_{ij}^{(k)} z^2 dz \quad (3)$$

که $\bar{Q}_{ij}^{(k)}$ سفتی تبدیل شده در راستای الیاف لایه k می‌باشد:

$$\begin{aligned} \bar{Q}_{11} &= Q_{11} \cdot \cos^4(\theta) + 2(Q_{12} + 2Q_{66}) \cdot \sin^2(\theta) \cdot \cos^2(\theta) \\ &\quad + Q_{22} \cdot \sin^4(\theta) \\ \bar{Q}_{22} &= Q_{11} \cdot \sin^4(\theta) + 2(Q_{12} + 2Q_{66}) \cdot \sin^2(\theta) \cdot \cos^2(\theta) \\ &\quad + Q_{22} \cdot \cos^4(\theta) \\ \bar{Q}_{12} &= (Q_{11} + Q_{22} - 2Q_{66}) \cdot \sin^2(\theta) \cdot \cos^2(\theta) \\ &\quad + 2(Q_{12} + Q_{22}) \cdot (\sin^4(\theta) + \cos^4(\theta)) \\ \bar{Q}_{16} &= (Q_{11} - Q_{22} - 2Q_{66}) \cdot \sin(\theta) \cdot \cos^3(\theta) \\ &\quad + (Q_{12} - Q_{22} + 2Q_{66}) \cdot \sin^3(\theta) \cdot \cos(\theta) \\ \bar{Q}_{26} &= (Q_{11} - Q_{22} - 2Q_{66}) \cdot \sin^3(\theta) \cdot \cos(\theta) \\ &\quad + (Q_{12} - Q_{22} + 2Q_{66}) \cdot \sin(\theta) \cdot \cos^3(\theta) \\ \bar{Q}_{66} &= (Q_{11} + Q_{22} - 2Q_{12} - 2Q_{66}) \cdot \sin^2(\theta) \cdot \cos^2(\theta) \\ &\quad + Q_{66} (\sin^4(\theta) + \cos^4(\theta)) \end{aligned} \quad (4)$$

که θ زاویه الیاف و Q_{ij} سفتی در امتداد جهت اصلی کامپوزیت می‌باشد:

$$\begin{aligned} Q_{11} &= \frac{E_1}{1 - v_{12} \cdot v_{21}} \\ Q_{12} &= Q_{21} = \frac{v_{21} \cdot E_1}{1 - v_{12} \cdot v_{21}} \\ Q_{22} &= \frac{E_2}{1 - v_{12} \cdot v_{21}} \\ Q_{66} &= G_{12} \end{aligned} \quad (5)$$

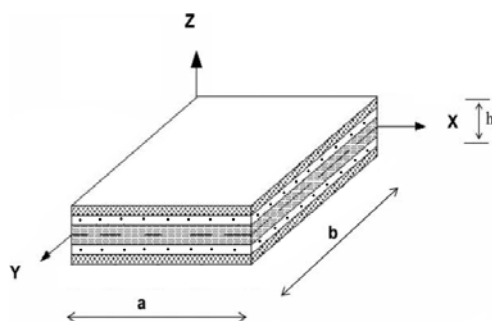
با اعمال شرایط مرزی زیر برای یک صفحه با تکیه گاه ساده داریم:

تجربه کردند در حافظه خود نگهداری کنند و تمایلی نیز به سمت بهترین موقعیت در کشیده گذشته خود داشته باشند، زیرا ممکن است هر یک از اعضا خود رهبر گروه شوند به طوری که بقیه وظیفه تبعیت از آنها را داشته باشند.

در این مقاله وزن و هزینه ورقهای کامپوزیتی هیبریدی متعادل متقارن به صورت توان، براساس قید فرکانس با استفاده از الگوریتم بهینه‌سازی گروه ذرات بهینه شده است. در پایان این تحقیق، نتایج به دست آمده با نتایج الگوریتم زنتیک [20] و الگوریتم کلونی مورچه‌ها [21] مقایسه شده است.

تحلیل ارتعاشات آزاد

صفحه‌ی لایه‌ای متقارن با ابعاد a, b, h به ترتیب در امتداد محورهای x, y, z در نظر گرفته شده است. هر لایه به ضخامت t و به طور ایده‌آل به عنوان یک ماده ارتوتروپیک همگن در نظر گرفته شده است که $h = N \times t$ برابر ضخامت کل صفحه می‌باشد (شکل ۱).



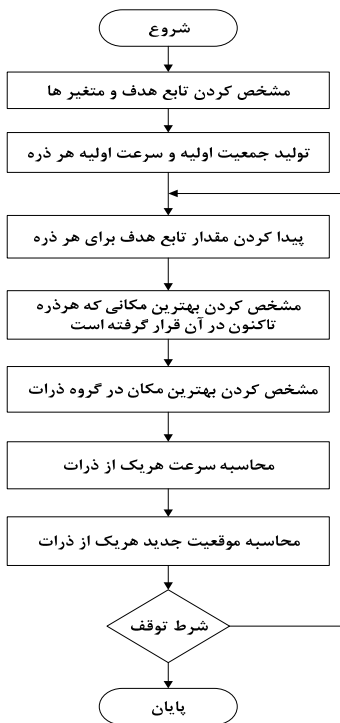
شکل ۱ کامپوزیت لایه‌ای به ضخامت h

$N = N_i + N_o$ تعداد کل لایه‌ها می‌باشد که به صورت مجموع لایه‌های درونی N_i و بیرونی N_o تعریف می‌شود.

معادله‌ی حرکت حاکم بر کامپوزیت‌های لایه‌ای متقارن براساس تئوری صفحه لایه‌ای کلاسیک به شکل زیر می‌باشد [21]:

الگوریتم بهینه‌سازی گروه ذرات

شکل (۲) فلوچارت الگوریتم گروه ذرات را نشان می‌دهد. مانند دیگر الگوریتم‌های تکاملی، این الگوریتم نیز با تعدادی جمعیت اولیه تصادفی که هر کدام از آن‌ها یک «ذره» نامیده می‌شوند، شروع می‌شود. به ترین عنصر جمعیت به عنوان بهترین فرد گروه انتخاب می‌شود. این ذره بسته به قدرتش، ذرات دیگر را با یک روند خاص که در ادامه می‌آید، به سمت خود می‌کشد. با گذشت زمان، ذرات از لحاظ قدرت به بهترین فرد گروه نزدیک‌تر خواهند شد و شاهد یک نوع هم‌گرایی خواهیم بود.



شکل ۲ فلوچارت الگوریتم PSO پیشنهادی

شکل دهی جمعیت اولیه. در بهینه‌سازی، هدف یافتن یک جواب بهینه بر حسب متغیرهای مسئله است. یک آرایه از متغیرهای مسئله که باید بهینه شوند، ایجاد می‌گردد. در الگوریتم زنگیک این آرایه، کروموزوم نامیده می‌شود. در اینجا نیز ذره نامگذاری می‌گردد

$$\begin{aligned} x = 0, a \Rightarrow w = 0, M_x = 0 \\ y = 0, b \Rightarrow w = 0, M_y = 0 \end{aligned} \quad (6)$$

نمود [22] نشان داد که اگر γ و δ در شرایط زیر صدق کنند، با اطمینان می‌توان از D_{16} و D_{26} که برهم‌کنش خمث و برش را در ورقه‌های کامپوزیت بیان می‌کنند، صرف نظر کرد.

$$\begin{aligned} \gamma = D_{16}(D_{11}^3 D_{22})^{-1/4} & \quad \gamma \leq 0.2 \\ \delta = D_{26}(D_{11} D_{22}^3)^{-1/4} & \quad \delta \leq 0.2 \end{aligned} \quad (7)$$

به علت شباهت بین کمانش و آنالیزهای ارتعاشات آزاد برای کاهش پیچیدگی مسئله شرایط یکسانی در نظر گرفته می‌شود. با حل معادله (۱) با استفاده از شرایط مرزی (۶) حل کلی برای w در مود ارتعاشات طبیعی (m,n) ارائه شده است:

$$w(x, y, t) = \sum_{m=1}^{\infty} \sum_{n=1}^{\infty} A_{mn} \sin \frac{m\pi x}{a} \sin \frac{n\pi y}{b} e^{i\omega_{mn} t} \quad (8)$$

فرکانس طبیعی و A_{mn} دامنه مود ارتعاشات (m,n) می‌باشد. با جایگزین کردن معادله (۸) در (۱) داریم:

$$\omega_{mn}^2 = \frac{\pi^4}{\rho h} \left[D_{11} \left(\frac{m}{a} \right)^4 + 2(D_{12} + 2D_{66}) \left(\frac{m}{a} \right)^2 \left(\frac{n}{b} \right)^2 + D_{22} \left(\frac{n}{b} \right)^4 \right] \quad (9)$$

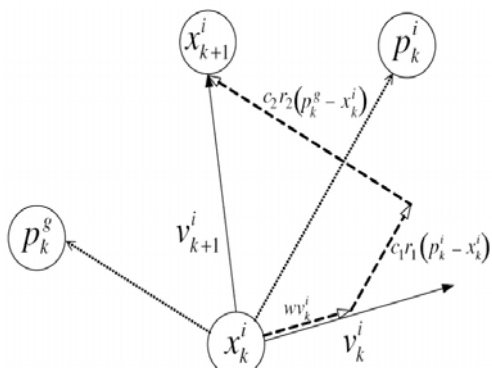
برای مودهای مختلف باید مقادیر مختلف m و n جایگزین شود که برای فرکانس طبیعی اصلی، هر دو برابر یک می‌باشند. بنابراین فرکانس اصلی برابر است با [21]:

$$f = \frac{\pi}{2\sqrt{\rho h}} \sqrt{\frac{D_{11}}{a^4} + \frac{2(D_{12} + 2D_{66})}{a^2 b^2} + \frac{D_{22}}{b^4}} \quad (10)$$

$$= \begin{bmatrix} v_{1,1}, v_{2,1}, v_{3,1}, \dots, v_{N_{var,1}} \\ v_{1,2}, v_{2,2}, v_{3,2}, \dots, v_{N_{var,2}} \\ v_{1,3}, v_{2,3}, v_{3,3}, \dots, v_{N_{var,3}} \\ \vdots \\ v_{1,N}, v_{2,N}, v_{3,N}, \dots, v_{N_{var,N}} \end{bmatrix} \quad (14)$$

نحوهی حرکت هر یک از ذرات. پس از تولید جمعیت اولیه (ذرات) و در نظر گرفتن یک سرعت اولیه برای هر ذره، کارایی هر ذره برآسانس موقعیتش مورد محاسبه قرار می‌گیرد. هر ذره سرعتش را برآسانس بهترین پاسخ به دست آمده در گروه ذرات (بهترین فرد گروه) و بهترین مکانی که تاکنون در آن قرار گرفته است (best particle position) (تغییر می‌دهد [24]). در تغییرات زمان واحد، این سرعت با موقعیت ذره جمع می‌شود و موقعیت جدید ذره به دست می‌آید. سرعت ذرات در هر مرحله با توجه به رابطه‌ی زیر محاسبه و مسیر ذره به روز می‌شود [25] (شکل ۳).

$$\begin{aligned} v_{k+1}^i &= wv_k^i + c_1 r_1 (p_k^i - x_k^i) + c_2 r_2 (p_k^g - x_k^i) \\ x_{k+1}^i &= x_k^i + v_{k+1}^i \end{aligned} \quad (15)$$



شکل ۳ نحوهی حرکت ذره [24]

که در این رابطه r_1 و r_2 دو عدد تصادفی در بازه‌ی $[0, 1]$ می‌باشند [25]. p_k^g و p_k^i به ترتیب، بهترین مکانی که تاکنون ذره در آن قرار گرفته است و بهترین پاسخ

[23]. در بهینه‌سازی یک مسئله‌ی N_{var} بعدی، یک ذره، یک آرایه سطری با N_{var} درایه است. این آرایه به صورت زیر تعریف می‌شود.

$$\text{Particle} = [p_1, p_2, p_3, \dots, p_{N_{var}}] \quad (11)$$

که p_i مقدار ذره به ازای متغیر i می‌باشد. برای شروع الگوریتم، باید تعدادی از این ذرات (به تعداد ذرات اولیه الگوریتم) ایجاد شوند. بنابراین ماتریس کل ذرات به صورت تصادفی تشکیل می‌شود.

$$\begin{aligned} \text{Particle} &= \begin{bmatrix} p_1 \\ p_2 \\ p_3 \\ \vdots \\ p_N \end{bmatrix} \\ &= \begin{bmatrix} p_{1,1}, p_{2,1}, p_{3,1}, \dots, p_{N_{var,1}} \\ p_{1,2}, p_{2,2}, p_{3,2}, \dots, p_{N_{var,2}} \\ p_{1,3}, p_{2,3}, p_{3,3}, \dots, p_{N_{var,3}} \\ \vdots \\ p_{1,N}, p_{2,N}, p_{3,N}, \dots, p_{N_{var,N}} \end{bmatrix} \end{aligned} \quad (12)$$

هزینه‌ی یک ذره با ارزیابی تابع f در متغیرهای $(p_1, p_2, p_3, \dots, p_{N_{var}})$ به دست می‌آید. بنابراین:

$$\cos t_i = f(p_1, p_2, p_3, \dots, p_{N_{var}}) \quad i = 1, 2, 3, \dots, N \quad (13)$$

ذره‌ای که کمترین مقدار هزینه را دارد باشد به عنوان بهترین فرد گروه (بهترین تجربه) (best global solution) در نظر گرفته می‌شود. لازم به ذکر است که سرعت اولیه نیز برای هر ذره به صورت تصادفی تشکیل می‌شود. ماتریس سرعت ذرات نیز به صورت زیر در نظر گرفته می‌شود:

$$V = \begin{bmatrix} v_1 \\ v_2 \\ v_3 \\ \vdots \\ v_N \end{bmatrix}$$

بیان مسئله: انتخاب بهینه‌ی لایه‌گذاری برای ورق

کامپوزیت مستطیل شکل

هدف از این بهینه‌سازی کمینه کردن وزن توأم با هزینه براساس قید فرکанс اصلی 25 Hz می‌باشد. شرایط مسئله به گونه‌ای مطرح شده است که با مسئله‌ی انجام شده با الگوریتم‌های GA [20] و CO [21] منطبق باشد، تا امکان مقایسه نتایج وجود داشته باشد. ابعاد ورق به صورت زیر است:

$$b=30(\text{in})=0.762(\text{m}), a=36(\text{in})=0.9144(\text{m})$$

مفهوم هیرید با استفاده از دو ماده‌ی کامپوزیت صورت می‌گیرد: (۱) گرافیت-اپوکسی (۲) شیشه-اپوکسی. نسبت سفتی به وزن گرافیت-اپوکسی (0.087) تقریباً 4 برابر شیشه-اپوکسی (0.022) می‌باشد. هم‌چنین گرافیت-اپوکسی هزینه‌ی بالاتری دارد بهنحوی که به‌ازای هر کیلوگرم، هزینه‌ی گرافیت-اپوکسی 8 برابر شیشه-اپوکسی است. در این بهینه‌سازی ضمن فراهم آوردن صلیبت مناسب، کاهش قیمت و وزن که همیشه به عنوان یک هدف شایسته و مهم مطرح بوده نیز به دست می‌آید.

جهت الیاف می‌تواند 19 مقدار در فاصله‌ی صفر تا 90 با رعایت تغییرات 5 درجه داشته باشد. به‌دلیل برقراری تعادل در ورقه به جز برای لایه‌های صفر و 90 که نیازی به جفت شدن ندارند بقیه‌ی لایه‌ها به صورت جفت‌های مثبت-منفی به کار می‌روند. این فرض به‌دلیل مینیمم کردن برهم‌کنش خمث-برش درنظر گرفته شده است.

تعداد جفت لایه‌ها برای نیمی از کامپوزیت از 6 تا 11 تغییر می‌کند. اگر چنان‌چه یک جفت لایه با زوایای صفر یا 90 پر شود، چون این زاویه‌ها برای رعایت تعادل نیازی به جفت شدن ندارند تنها توسط یک لایه پر می‌شوند، یا به عبارت دیگر توسط یک جفت لایه با نصف ضخامت پر شده‌اند. علاوه بر این، متقارن بودن ورقه ایجاب می‌کند که تنها نیمی از لایه‌ها طراحی شوند.

به دست آمده تا این مرحله می‌باشد.

ضرایب c_1 و c_2 ، فاکتور یادگیری (learning factor) فرمان‌پذیری ذره از بهترین تجربه‌ی شخصی و میزان فرمان‌پذیری ذره از بهترین تجربه‌ی جمع را نشان می‌دهد، که مجموع آن‌ها باید کمتر از 4 باشد [24]. ضریب w اینرسی وزنی (inertia weight) نامیده می‌شود. ضریب اینرسی بیشتر، باعث گسترش بیشتر در فضای بدون توجه به تجربه شخصی و گروه می‌شود و ضریب اینرسی کمتر، باعث جمع‌شدن و حرکت در محدوده‌ی اطراف موقعیت فعلی می‌گردد. مقدار این ضریب نیز باید کوچک‌تر از 1 باشد. این ضریب در هر بار تکرار الگوریتم با توجه به رابطه‌ی زیر کاهش می‌یابد [24].

$$w_{k+1} = w_k - \frac{w_k}{n} \quad (16)$$

که n تعداد تکرار الگوریتم می‌باشد. برای پایداری الگوریتم باید شروط زیر بین ثابت‌های c_1 و c_2 و w برقرار باشد [24].

$$\begin{aligned} 0 < c_1 + c_2 < 4 \\ \frac{c_1 + c_2}{2} - 1 < w < 1 \end{aligned} \quad (17)$$

پس از به دست آوردن سرعت جدید، هر ذره به موقعیت جدید خود می‌رود. اگر ذره به موقعیت بهتری از بهترین مکانی که تا کنون در آن قرار گرفته است برسد، آن‌گاه موقعیت مزبور به عنوان بهترین مکانی که تاکنون ذره در آن قرار گرفته (بهترین تجربه‌ی شخصی) در نظر گرفته می‌شود. علاوه بر این، در صورتی که بهترین پاسخ به دست آمده در این مرحله، از بهترین پاسخ به دست آمده تاکنون بهتر باشد، آن‌گاه این موقعیت نیز به عنوان بهترین پاسخ به دست آمده (بهترین تجربه‌ی جمع) در نظر گرفته می‌شود.

با جهت و جنس معین می‌باشد تشکیل یافته است. هر یک از اعداد آورده شده در ساختار کامپوزیت بیان‌کنندهٔ دو متغیر جنس و جهت می‌باشد که در جدول (۳) آمده است. ذرات تنها می‌توانند با انتخاب متغیرها بین نواحی جابه‌جا شوند و انتخاب دو متغیر از یک ناحیه ممکن نمی‌باشد.

چون سرعت‌های به دست آمده اعداد صحیحی نمی‌باشند و برای تعیین لایه‌گذاری به اعداد صحیحی در بازهٔ ۱ تا ۳۸ احتیاج داریم؛ بنابراین، جواب‌های به دست آمده به سمت نزدیک‌ترین عدد صحیح گرد شده‌اند، که این اعداد صحیح جواب الگوریتم را در هر مرحله به وجود می‌آورد.

برای اعمال قید فرکانس، به تابع هدف صفحاتی که این قید را رعایت نکرده باشند، با اعمال روش جریمهٔ مقدار نسبتاً زیادی افزوده می‌شود. هم‌چنین برای جلوگیری از واگرایی و هم‌گرایی زودرس، ماکریم و مینیمم سرعت محدود شده است. در ضمن، شرط توقف الگوریتم ۲۰۰۰ تکرار در نظر گرفته شده است.

الگوریتم PSO

ابتدا پارامترهای مورد نیاز الگوریتم، ماکریم تکرار، قید فرکانس و مشخصات هندسی و مادی صفحه کامپوزیتی وارد می‌گردد. حلقه‌ی اصلی برنامه شامل حلقه‌ی تکرار برای مقادیر مختلف ضریب α و سپس حلقه‌ی مقادیر مختلف ناحیه‌ها (جفت لایه‌ها از ۶ تا ۱۱) و درنهایت حلقه‌ی الگوریتم PSO با ۲۰۰۰ تکرار می‌باشد که به صورت تودرتو اجرا می‌گردد.

تابع هدف چندمنظوره

برهم‌کنش بین تابع هدف مجموعه‌ای از حل‌های مشارکتی را ایجاد می‌کند که مجموعه‌ی فراوانی نامیده می‌شود. یک حل، زمانی به مجموعه‌ی فراوانی تعلق دارد که همهٔ توابع هدف در یک محدودهٔ خاص قرار داشته باشند. طراح به منظور انتخاب مجموعه فراوانی لازم است تا از اطلاعات اضافی برای سازماندهی توابع هدف براساس اهمیت هر یک استفاده کند. در این تحقیق تابع هدف F ، به عنوان یک ترکیب برآمده از وزن (W) و هزینه (C)، بهینه شده است [21].

$$F = \alpha \cdot W + (1 - \alpha)C \quad (18)$$

$$W = a \cdot b \cdot t(N_{Gr} \cdot \rho_{Gr} + N_{Gl} \cdot \rho_{Gl}) \quad (19)$$

$$C = a \cdot b \cdot t(8 * N_{Gr} \cdot \rho_{Gr} + N_{Gl} \cdot \rho_{Gl}) \quad (20)$$

که a ، b و t ابعاد هر لایه، ρ چگالی و N_{Gr} و N_{Gl} به ترتیب تعداد لایه‌های گرافیت-اپوکسی و شیشه-اپوکسی می‌باشند. برای α مقادیر $0, 0.7, 0.8, 0.9, 0.96$ و ۱ در نظر گرفته شده است [21, 20, 22]. خواص گرافیت-اپوکسی و شیشه-اپوکسی در جدول (۱) آورده شده است [26]. هم‌چنین پارامترهای مورد نیاز PSO در جدول (۲) آمده است.

اصلاح شده PSO

در الگوریتم PSO به تعداد جفت لایه‌ها ناحیه داریم که هر ناحیه از ۳۸ متغیر که هر کدام بیان‌کنندهٔ یک لایه

جدول ۱ خواص مواد

فاکتور هزینه (cost factor)	ضخامت هر لایه $t(\text{mm})$	چگالی $\rho (\text{kg}/\text{m}^3)$	v_{12}	$G_{12}(\text{GPa})$	$E_2(\text{GPa})$	$E_1(\text{GPa})$	خواص
8	0.127	1587	0.3	7.1	8.96	137.9	گرافیت-اپوکسی
1	0.127	1970	0.27	4.55	8.89	43.4	شیشه-اپوکسی

جدول ۲ پارامترهای PSO

تعداد ذره	N_{var} (تعداد متغیر)	W	C_1	C_2	x_{\min}	x_{\max}	dx	$v_{\max} = 0.1 \times dx$	ماکریم تکرار
۲۰	۳۸	۱	۲	۱/۹	۱	۳۸	۳۷	۳/۷	۲۰۰۰

جدول ۳ مشخصات هر لایه

مواد																		زاویه
شیشه-اپوکسی																		گرافیت-اپوکسی
۹۰	± 85	± 80	± 75	± 70	± 65	± 60	± 55	± 50	± 45	± 40	± 35	± 30	± 25	± 20	± 15	± 10	± 5	۰
۱۹	۱۸	۱۷	۱۶	۱۵	۱۴	۱۳	۱۲	۱۱	۱۰	۹	۸	۷	۶	۵	۴	۳	۲	۱
۳۸	۳۷	۳۶	۳۵	۳۴	۳۳	۳۲	۳۱	۳۰	۲۹	۲۸	۲۷	۲۶	۲۵	۲۴	۲۳	۲۲	۲۱	۲۰

تاکنون در آن قرار گرفته‌اند و بهترین پاسخ به دست آمده تا آن مرحله تعیین می‌شود. بهمین ترتیب، حلقه‌های تودرتو تا پایان اجرا می‌گردند و ساختارهای بهینه برای هریک از مقادیر α به دست می‌آید.

این برنامه در نرم‌افزار متلب (MATLAB) نوشته شده است و این قابلیت را دارد می‌باشد که برای صفحات کامپوزیتی گوناگون به کار برد شود. الگوریتم برنامه در ادامه آورده شده است.

تنظیم پارامترهای اولیه تعیین خصوصیات ماده و ابعاد صفحه تکرار برای مقادیر مختلف α تکرار برای مقادیر مختلف تعداد ناحیه‌ها تکرار به تعداد معین (حلقه PSO) تکرار اول: تعیین سرعت و مقادیر تصادفی برای هر ذره تعیین هزینه و وزن و تابع هدف و فرکانس طبیعی برای هر ذره اعمال قید جریمه در عدم رعایت قید فرکانس مسیر و تابع هدف به دست آمده به عنوان بهترین برای هر ذره تاکنون در نظر گرفته می‌شود تعیین بهترین تابع هدف و مسیر کلی تکرارهای بعدی: تکرار برای هر ذره به روز رسانی سرعت گردد کدن سرعت به سمت نزدیکترین عدد صحیح و اعمال محدوده سرعت تعیین مسیر جدید برای هر ذره پا اعمال محدوده متغیر بین x_{\max} و x_{\min} تعیین هزینه و وزن و تابع هدف و فرکانس طبیعی برای هر ذره اعمال قید جریمه در عدم رعایت قید فرکانس تعیین بهترین تابع هدف و مسیر کلی پایان تکرار برای هر ذره پایان حلقه PSO پایان تکرار برای مقادیر مختلف تعداد ناحیه‌ها پایان تکرار برای مقادیر مختلف α پایان

برای شروع کار الگوریتم PSO، باید یک حل تصادفی در تکرار اول ایجاد گردد. مقدار بهترین تابع هدف کلی در ابتدا یک مقدار بسیار بزرگ فرض می‌شود و برای هر ذره به تعداد جفت لایه‌ها به‌طور تصادفی، سرعت در بازه‌ی [۱، ۰] (رابطه‌ی ۱۴) و مکان (موقعیت) در بازه‌ی [۱، ۳۸] (رابطه‌ی ۱۲) تعیین می‌شود. به این ترتیب، اولین ساختار برای صفحه‌ی کامپوزیت ایجاد می‌گردد. با توجه به تعداد لایه‌های گرافیت-اپوکسی و شیشه-اپوکسی وزن و هزینه (رابطه‌های ۱۹ و ۲۰) محاسبه و براساس مقدار ضریب α تابع هدف (رابطه‌ی ۱۸) تعیین می‌شود. فرکانس طبیعی نیز از رابطه‌ی (۱۰) محاسبه می‌گردد. اگر چنان‌چه برای یک ذره این فرکانس از مقدار ۲۵ Hz کم‌تر باشد، با اعمال جریمه، تابع هدف آن ذره با یک مقدار نسبتاً بزرگ (در اینجا ۲۰) جمع می‌گردد تا از اثر آن در مراحل بعدی کاسته گردد. سپس موقعیت ذارت به عنوان بهترین مکانی که تاکنون در آن قرار گرفته‌اند و ذره‌ی دارای کمترین تابع هدف به عنوان بهترین پاسخ به دست آمده تا این مرحله در نظر گرفته می‌شوند. در تکرارهای بعدی ابتدا سرعت ذرات با استفاده از رابطه‌ی (۱۰) بهروز می‌شوند. سپس با توجه به محدوده سرعت به سمت نزدیکترین عدد صحیح گرد می‌شوند و طبق رابطه‌ی (۱۰) با در نظر گرفتن محدوده مکانی ذره، موقعیت قبلی ذره (شماره جفت لایه‌های انتخاب شده برای هر لایه) جمع می‌شوند تا موقعیت جدید ذره (ساختار جدید کامپوزیت) را به وجود آورند. سپس همانند تکرار اول هر یک از ذرات مورد ارزیابی قرار می‌گیرند و با مقایسه‌ی تابع هدف ذرات با تکرارهای قبلی، بهترین مکانی که

می‌دهد که تعدادی از ساختارها در جدول (۴) آورده شده است. در ضمن شکل (۴) نشان می‌دهد که الگوریتم در کمتر از ۵۰ تکرار به بهترین جواب رسیده است.

شکل (۵) نشان می‌دهد که برای $\alpha=0.87$ تعداد ۶ و ۷ جفت لایه با ۲۴ لایه بهترین تابع هدف را نتیجه می‌دهد. به علاوه همان‌طور که مشخص است الگوریتم در کمتر از ۴۰۰ تکرار برای ۷ جفت لایه و در کمتر از ۵۰ تکرار برای ۶ جفت لایه به بهترین جواب رسیده است.

شکل (۶) نشان می‌دهد که برای $\alpha=1$ تعداد ۶ و ۸ جفت لایه با ۲۲ لایه بهترین تابع هدف را ایجاد می‌کند. به علاوه الگوریتم در کمتر از ۵۰ تکرار برای ۶ جفت لایه و کمتر از ۱۱۰۰ تکرار برای ۸ جفت لایه به بهترین جواب دست یافته است.

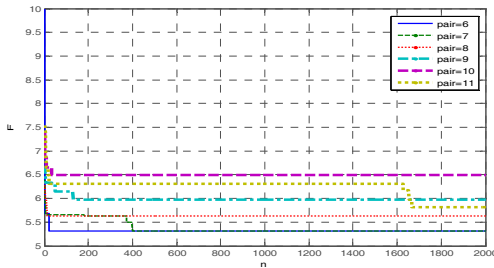
ارائهٔ نتایج

در این قسمت بهترین ساختارهای ایجادشده برای مینیمم کردن تابع هدف F به‌ازای چند مقدار α ارائه می‌شود. شکل‌های (۴-۶) بیان‌گر همگرایی تابع هدف در ۲۰۰۰ تکرار برای رسیدن به لایه‌گذاری بهینه می‌باشد. شماره‌های ۱ تا ۱۹ در جدول‌های (۴-۶) بیان‌کنندهٔ جنس شیشه-اپوکسی و شماره‌های ۲۰ تا ۳۸ بیان‌کنندهٔ جنس گرافیت-اپوکسی برای جهات مختلف می‌باشند. (واحد وزن، کیلوگرم و واحد فرکانس، هرتز می‌باشد). به دلیل مقارن بودن کامپوزیت، به آوردن سازه‌ی نیمی از آن اکتفا شده است. در این سازه عدد سمت چپ، بیان‌گر بیرونی ترین لایه می‌باشد.

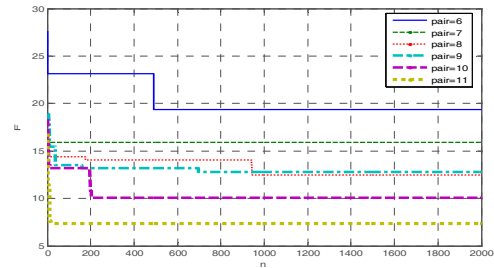
برای $\alpha=0$ تعداد ۱۱ جفت لایه با ۴۲ لایه از جنس شیشه-اپوکسی بهترین تابع هدف را به دست

جدول ۴ ساختارهای بهینه برای $\alpha=0$

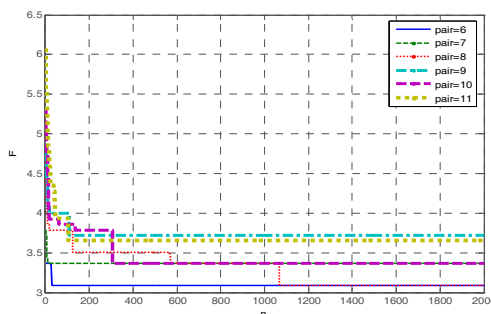
شماره	لایه‌گذاری												تایع هدف	فرکانس طبیعی (Hz)	وزن (Kg)	هریمه
1	10	7	19	15	9	10	7	15	16	12	16		7.32167	7.32167	25.2332	7.32167
2	5	14	14	14	17	19	9	11	17	7	8		7.32167	7.32167	25.3912	7.32167
3	4	15	14	14	17	19	9	7	16	8	6		7.32167	7.32167	25.6063	7.32167
4	10	7	19	17	9	10	5	15	14	12	16		7.32167	7.32167	25.2332	7.32167
5	4	15	14	14	17	19	11	13	16	8	6		7.32167	7.32167	25.3061	7.32167
6	5	14	14	10	17	19	9	9	16	7	2		7.32167	7.32167	25.5103	7.32167
7	5	14	15	14	17	19	10	10	17	7	7		7.32167	7.32167	25.5404	7.32167
8	9	8	19	15	10	10	7	14	16	11	16		7.32167	7.32167	25.2609	7.32167
9	5	14	15	14	17	19	10	8	17	7	5		7.32167	7.32167	25.4603	7.32167
10	9	8	19	15	10	10	7	14	16	11	16		7.32167	7.32167	25.2981	7.32167
11	15	15	14	17	12	14	16	19	16	18	15		7.32167	7.32167	25.6366	7.32167
12	15	15	15	15	12	15	18	19	13	15	13		7.32167	7.32167	25.7039	7.32167
13	19	15	15	15	15	15	17	18	13	16	17		7.32167	7.32167	25.2149	7.32167
14	5	14	14	15	17	19	9	9	14	7	6		7.32167	7.32167	25.5968	7.32167
15	14	15	16	15	12	15	18	19	13	15	13		7.32167	7.32167	25.3838	7.32167
16	19	15	14	14	14	14	17	16	13	13	16		7.32167	7.32167	25.5597	7.32167
17	15	15	15	14	11	15	17	19	13	15	13		7.32167	7.32167	25.0151	7.32167
18	14	15	16	14	12	15	18	19	13	15	13		7.32167	7.32167	25.0403	7.32167
19	19	14	17	14	14	12	16	15	11	12	16		7.32167	7.32167	25.3838	7.32167
20	15	15	15	15	12	14	17	19	13	15	15		7.32167	7.32167	25.7424	7.32167



شکل ۵ نمودار همگرایی برای $\alpha=0.87$ (تابع هدف برحسب تکرار برای جفت لایه‌های مختلف)



شکل ۴ نمودار همگرایی برای $\alpha=0$ (تابع هدف برحسب تکرار برای جفت لایه‌های مختلف)



شکل ۶ نمودار همگرایی برای $\alpha=1$ (تابع هدف برحسب تکرار برای جفت لایه‌های مختلف)

جدول ۵ ساختارهای بهینه برای $\alpha=0.87$

شماره	لایه‌گذاری							هزینه	وزن (Kg)	فرکانس طبیعی (Hz)	تابع هدف
1	28	34	33	13	17	10		15.5736	3.77711	25.0499	5.31065
2	28	34	33	13	18	10		15.5736	3.77711	25.0178	5.31065
3	28	34	33	16	18	13		15.5736	3.77711	25.0409	5.31065
4	28	34	33	17	17	14		15.5736	3.77711	25.101	5.31065
5	29	33	34	15	17	12		15.5736	3.77711	25.0607	5.31065
6	28	34	33	14	18	11		15.5736	3.77711	25.143	5.31065
7	29	33	34	15	15	12		15.5736	3.77711	25.0925	5.31065
8	29	33	34	10	16	7		15.5736	3.77711	25.0439	5.31065
9	29	34	33	14	18	10		15.5736	3.77711	25.0432	5.31065
10	28	28	29	11	15	11		15.5736	3.77711	25.0185	5.31065
11	33	34	34	8	12	5		15.5736	3.77711	25.0785	5.31065
12	28	33	33	19	13	11	19	15.5736	3.77711	25.0821	5.31065
13	28	28	23	19	19	11	13	15.5736	3.77711	25.0275	5.31065
14	28	28	29	3	17	17	13	15.5736	3.77711	25.0927	5.31065
15	28	28	29	5	17	17	13	15.5736	3.77711	25.1088	5.31065
16	33	28	23	14	19	11	19	15.5736	3.77711	25.0413	5.31065
17	33	28	23	10	19	11	19	15.5736	3.77711	25.0363	5.31065
18	33	28	23	15	19	12	19	15.5736	3.77711	25.056	5.31065
19	33	28	23	9	19	10	19	15.5736	3.77711	25.0693	5.31065
20	33	28	23	15	19	10	19	15.5736	3.77711	25.07	5.31065

جدول ۶ ساختارهای بهینه برای $\alpha=1$

شماره	لایه‌گذاری							هزینه	وزن (Kg)	فرکانس طبیعی (Hz)	تابع هدف
1	33	28	34	33	38	35		24.7164	3.08954	25.4494	3.08954
2	34	29	34	32	38	35		24.7164	3.08954	25.0756	3.08954
3	34	28	34	33	38	36		24.7164	3.08954	25.512	3.08954
4	34	28	36	33	38	36		24.7164	3.08954	25.0439	3.08954
5	33	29	34	31	38	35		24.7164	3.08954	25.1665	3.08954
6	33	29	33	31	38	37		24.7164	3.08954	25.1317	3.08954
7	34	28	34	30	38	37		24.7164	3.08954	25.0948	3.08954
8	28	34	33	31	38	36		24.7164	3.08954	25.2712	3.08954
9	34	28	34	35	38	32		24.7164	3.08954	25.2176	3.08954
10	34	28	34	32	38	34		24.7164	3.08954	25.169	3.08954
11	34	23	23	38	21	21		24.7164	3.08954	25.1508	3.08954
12	34	23	23	38	23	23		24.7164	3.08954	25.2138	3.08954
13	34	23	23	38	22	22		24.7164	3.08954	25.101	3.08954
14	29	28	28	38	24	24		24.7164	3.08954	25.3319	3.08954
15	28	29	29	38	25	25		24.7164	3.08954	25.0615	3.08954
16	29	28	28	38	26	26		24.7164	3.08954	25.252	3.08954
17	28	28	28	38	28	28		24.7164	3.08954	25.4859	3.08954
18	28	28	38	26	38	20		24.7164	3.08954	25.1562	3.08954
19	23	33	38	28	38	20		24.7164	3.08954	25.0357	3.08954
20	23	34	38	29	38	20		24.7164	3.08954	25.0448	3.08954

خوبی را فراهم کنند. ترکیب لایه‌ها با زاویه‌ی $+40^\circ$ و -40° -تا -60° -به منظور بیشینه کردن فرکانس طبیعی ورق می‌باشد. اگر چه لایه‌های صفر و 90° در افزایش فرکانس نقش چندانی ندارند ولی به دلیل این که می‌توانند به صورت تک‌لایه به کار روند از نظر صرفه‌جویی در هزینه و وزن مفید می‌باشند. علاوه‌بر این، زاویه‌ی صفر در لایه‌ی درونی به کار گرفته شده است.

در ادامه مقایسه‌ی بین الگوریتم‌های PSO با GA و ACO در جدول (۷) برای هر ضریب وزنی آورده شده است. در این جدول گرافیت-اپوکسی با زیر خط مشخص شده است. مشاهده می‌شود که الگوریتم PSO در مواردی تابع هدف پایین‌تری را در مقایسه با GA و ACO برآورده است و در بقیه موارد با نتایج این الگوریتم‌ها برابری می‌کند. تنها مزیت GA، سهولت ساخت ساختارهای کامپوزیتی حاصل از آن می‌باشد زیرا از جهات زاویه‌ای کم‌تری در ساختار بهینه بهره برده است. در شکل (۷) وزن و هزینه برای هر یک از توابع هدف با رعایت قید فرکانس آورده شده است. همان‌طور که مشاهده می‌شود به ترتیب ترکیب‌های وزن

تحلیل نتایج و مقایسه

تعداد و جنس لایه‌ها، دو عامل تعیین‌کننده‌ی تابع هدف می‌باشند. زوایا تنها در تعیین اولین فرکانس طبیعی نقش ایفا می‌کنند. به ازای $\alpha=0$ تابع چندمنظوره به یک تابع تک‌منظوره برای مینیمم کردن هزینه تبدیل می‌شود. به دلیل ارزان‌تر بودن شیشه-اپوکسی نسبت به گرافیت-اپوکسی تمامی لایه‌ها از شیشه-اپوکسی تشکیل شده‌اند و کامپوزیت دارای 42° لایه می‌باشد.

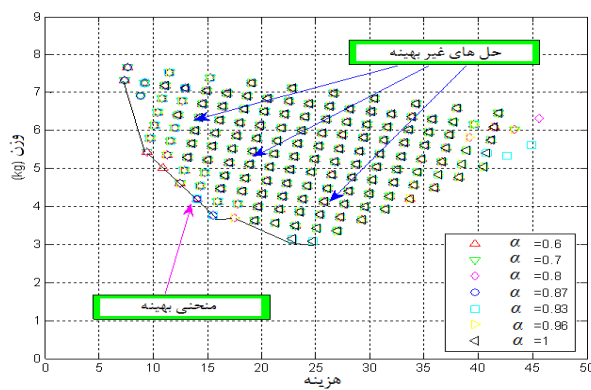
به ازای $\alpha=1$ تابع چندمنظوره به یک تابع تک‌منظوره جهت مینیمم کردن وزن تبدیل می‌شود که به دلیل سبک‌تر بودن گرافیت-اپوکسی نسبت به شیشه-اپوکسی همه لایه‌ها از گرافیت-اپوکسی تشکیل شده است و کامپوزیت دارای 22° لایه می‌باشد.

به دلیل این که گرافیت-اپوکسی سفت‌تر از شیشه-اپوکسی می‌باشد، احتیاجات مینیمم فرکانس طبیعی را با تعداد لایه‌های کم‌تری فراهم می‌کند. با افزایش مقدار α اهمیت تابع وزن افزایش می‌یابد و به مرور لایه‌های خارجی از گرافیت-اپوکسی و لایه‌های داخلی از شیشه-اپوکسی تشکیل شده‌اند تا صلیبت

و هزینه روی منحنی بهینه قرار دارد که در قسمت پایینی قرار گرفته است و سایر جواب‌ها بهینه نمی‌باشند.

جدول ۷ مقایسه بین الگوریتم‌های ACO و PSO

α	الگوریتم بهینه‌سازی	لایه‌گذاری	هزینه	وزن (Kg)	فرکانس طبیعی (Hz)	تابع هدف
\cdot	PSO	$[\pm 70_4/\pm 55/\pm 65/\pm 80/90/\pm 60/\pm 70_2]_s$	7/32167	7/32167	25/7424	7/32167
		$[\pm 70_3/\pm 65/\pm 50/\pm 70/90/\pm 60/\pm 70/\pm 60]_s$	7/32167	7/32167	25/0151	7/32167
	GA [20]	$[\pm 50_{10}/0]_s$	7/32	7/32	25/82	7/32
	ACO [21]	$[\pm 55/\pm 50/\pm 65/90/\pm 25/\pm 85_2/\pm 75/\pm 85/\pm 60/\pm 50]_s$	7/32	7/32	25/07	7/32
\cdot/\vee	PSO	$[\pm 40/90/\pm 70_3/\pm 80/\pm 70/90/\pm 70]_s$	9/375	5/44285	25/3306	6/6225
		$[\pm 70/90/\pm 40/90_2/\pm 70/\pm 15/90/\pm 80/\pm 50]_s$	9/375	5/44285	25/3265	6/6225
	GA [20]	$[\pm 50/\pm 50]_s$	9/37	5/44	25/10	6/62
	ACO [21]	$[\pm 50/\pm 50_2/\pm 30/\pm 65/\pm 40/\pm 70/\pm 40]_s$	9/37	5/44	25/09	6/62
\cdot/\wedge	PSO	$[\pm 40_3/\pm 70/\pm 5/\pm 45]_s$	15/5736	3/77711	25/1984	6/1364
		$[\pm 40/\pm 70/\pm 15/90_2/\pm 50/\pm 65]_s$	15/5736	3/77711	25/0479	6/1364
	GA [20]	$[\pm 50_2/\pm 50_5]_s$	12/52	4/61	25/88	6/19
	ACO [21]	$[\pm 60/\pm 40/\pm 45/\pm 85/\pm 65/\pm 85/\pm 5]_s$	12/52	4/61	25/42	6/19
$\cdot/\wedge\vee$	PSO	$[\pm 40/\pm 70/\pm 65/\pm 70/\pm 85/\pm 55]_s$	15/5736	3/77711	25/1507	5/31065
		$[\pm 40/\pm 65_2/90/\pm 60/\pm 50/90]_s$	15/5736	3/77711	25/0821	5/31065
	GA [20]	$[\pm 45_2/90/\pm 50_3/\pm 80]_s$	14/02	4/19	25/08	5/47
	ACO [21]	$[\pm 50/\pm 40/90/\pm 50/\pm 65/\pm 75/\pm 45]_s$	14/02	4/19	25/11	5/47
$\cdot/\wedge\vee$	PSO	$[\pm 70/\pm 40_2/\pm 15/90/0/90]_s$	22/8181	3/15733	25/1675	4/53358
		$[\pm 40/\pm 70/\pm 15/\pm 65/\pm 20/90]_s$	22/8181	3/15733	25/13	4/53358
	GA [20]	$[\pm 50_3/90/\pm 50_2/0]_s$	17/47	3/71	25/38	4/67
	ACO [21]	$[\pm 55_2/\pm 40_2/90/\pm 65]_s$	24/72	3/09	25/02	4/60
$\cdot/\wedge\vee$	PSO	$[\pm 40_2/\pm 45/\pm 10_2/90]_s$	22/8181	3/15733	25/0346	3/94376
		$[\pm 40_2/90_2/\pm 20/\pm 5/90]_s$	22/8181	3/15733	25/016	3/94376
	GA [20]	$[\pm 50_4/\pm 50_2]_s$	19/37	3/64	26.07	4/27
	ACO [21]	$[\pm 55/\pm 50/\pm 55/\pm 60/0/\pm 5]_s$	24/72	3/09	27/07	3/95
\	PSO	$[\pm 40_3/90/\pm 40_2]_s$	24/7164	3/08954	25/4859	3/08954
		$[\pm 40_2/90/\pm 30/90/0/90/0]_s$	24/7164	3/08954	25/1562	3/08954
	GA [20]	$[\pm 50_5/0]_s$	24/72	3/09	25/14	3/09
	ACO [21]	$[\pm 55/\pm 50/\pm 55/90/\pm 55/\pm 35]_s$	24/72	3/09	25/10	3/09



شکل ۷ مجموعه‌ی فراوانی و منحنی بهینه از این مجموعه

نتیجه‌گیری

بهینه‌سازی تابع هدف چندمنظوره برای بهینه‌سازی توأم وزن و هزینه براساس قید فرکانس با استفاده از الگوریتم بهینه‌سازی گروه ذرات انجام شد. برای این منظور یک صفحه‌ی مستطیلی کامپوزیتی متعادل متقاضی متشکل از لایه‌های گرافیت-اپوکسی و شیشه-اپوکسی در نظر گرفته شد. نتایج برای مقادیر مختلف ضربی وزنی α ارائه و در پایان منحنی بهینه ساختارها رسم گردید. نتایج بهخوبی نشان‌دهنده مزایای استفاده از کامپوزیت هیبریدی بود، به طوری که با افزایش ضربی α ماده پرهزینه‌تر و سفت‌تر (گرافیت-اپوکسی) در لایه‌های خارجی ظاهر می‌شد تا صلیبیت و سفتی کافی را فراهم کند.

هم‌چنین مقایسه‌ی نتایج PSO با نتایج

مراجع

1. Hemmatian, H., Fereidoon, A., Sadollah, A. and Bahreininejad, A., "Optimization of laminate stacking sequence for minimizing weight and cost using elitist ant system optimization", *Advances in Engineering Software*, Vol. 57, pp. 8-18, (2013)
2. Bert, C.W., "Design of Clamped Composite Material Plates to Maximize Fundamental Frequency", Transaction of American Society of Mechanical Engineers, Journal of Mechanical Design, Vol. 100, No. 2, pp. 274-278, (1978).
3. Reiss, R. and Ramachandran, S., "Maximum Frequency Design of Symmetric Angle-ply Laminates", *Journal of Composite Structures*, Vol. 4, pp. 1476-1487, (1987).
4. Grenestedt, J.L., "Layup Optimization and Sensitivity Analysis of the Fundamental Eigenfrequency of Composite Plates", *Journal of Composite Structures*, Vol. 12, No.3, pp. 193-209, (1989).
5. Duffy, K.J. and Adali, S., "Maximum Frequency Design of Pre-stressed Symmetric, Cross-ply Laminates of Hybrid Construction", *Advances in Design Automation*, Vol. 2, pp. 477-484, (1991).
6. Adali, S., "Design of Shear Deformable Antisymmetric Angle-ply Laminates to Maximize the Fundamental Frequency and the Frequency Separation", *Journal of Composite Structures*, Vol. 2, pp. 349-369, (1984).
7. Adali, S. and Duffy, K.J., "Minimum Cost Design of vibrating Laminates by Hybridization", *Journal of Engineering Optimization*, Vol. 19, pp. 255-267, (1992).
8. Adali, S. and Verijenko, V.E., "Optimum Stacking Sequence Design of Symmetric Hybrid Laminates Undergoing Free Vibrations", *Journal of Composite Structures*, Vol. 54, No. 2-3, pp. 131-138,(2001).
9. Spallino, R. and Rizzo, S., "Multi-objective Discrete Optimization of Laminated Structures", *Journal of Mechanical Research Communications*, Vol. 29, No. 1, pp. 17-25, (2002).

10. Tahani, M., Kolahan, F. and Sarhadi, A., "Genetic Algorithm for Multi-objective Optimal Design of Sandwich Composite Laminates with Minimum Cost and Maximum Frequency", *International Conference on Advances in Materials, Product Design and Manufacturing Systems (ICMPM 2005)*, Sathyamangalam, India, pp. 741-748, (2005).
11. Kolahan, F., Tahani, M. and Sarhadi, A., "Optimal Design of Sandwich Composite Laminates for Minimum Cost and Maximum Frequency Using Simulated Annealing", *Tehran International Conference on Manufacturing Engineering (TICME2005)*, Tehran, Iran, (2005).
12. Yuanfu, T., Jianqiao, C. and Wenjie, P., "Probabilistic Optimization of Laminated Composites Considering Both Ply Failure and Delamination Based on PSO and FEM", *Tsinghua Science and Technology*, Vol. 14, No. 2, pp.89-93, (2009).
13. Omkar , S.N., Khandelwal, R., Ananth, T.V.S., Narayana Naik, G. and Gopalakrishnan, S., "Quantum behaved Particle Swarm Optimization (QPSO) for multi-objective design optimization of composite structures", *Journal of Expert Systems with Applications*, Vol. 36, No.8, pp.11312-11322, (2009).
14. Ge, R., Chen, J. and Wei, J. "Reliability-Based Design of Composites under the Mixed Uncertainties and the Optimization Algoritm", *Acta Mechanica Solida Sinica*, Vol. 21, No. 1, pp. 19-27, (2008).
15. همتیان، ح.، فریدون، ع. و رجب پور، م.، "بهینه سازی پانل ساندویچی هسته منشوری براساس الگوریتم گروه ذرات". مجله‌ی مدل‌سازی در مهندسی، دوره‌ی ۲۰، شماره‌ی ۶، ۱۷-۲۶، (۱۳۸۹).
16. Dorigo, M., Maniezzo, V. and Colomi, A., "The ant system: optimization by a colony of cooperating agents, IEEE Trans", *Syst. Man. Cybernet. B*, Vol. 26, pp. 29–41, (1996).
17. Kennedy, J. and Eberhart, R.C., "Particle swarm optimization", In: *IEEE international conference on neural networks, Piscataway*, NJ, 5, pp. 1942–1948, (1995).
18. Eberhart, R. and Kennedy, J., "New optimizer using particle swarm theory", In: *Sixth international symposium on micro machine and human science*, Nagoya, Japan, pp. 39–43, (1995).
19. Kennedy, J., Eberhart, R.C. and Shi, Y., "Swarm intelligence", Morgan Kaufman Publishers, San Francisco, (2001).
20. Grossset, L., Venkataraman, S. and Haftka, R.T, "Genetic Optimization of Two-material Composite Laminates", *16th ASC Technical Meeting*, Blacksburg, Virginia, (2001).
21. Abachizadeh, M. and Tahani, M., "Ant colony optimization of hybrid laminates for minimum cost and weight", In: *Saravanos DA (ed), Proceedings of 6th international symposium on advanced composites COMP'07*, Corfu, Greece, (2007).
22. Nemeth, M.P., "Importance of Anisotropy on Buckling of Compression-loaded Symmetric Composite Plates", *AIAA Journal*, Vol. 24, pp. 1831-1835, (1986).
23. Clerc, M., "Particle Swarm Optimization", ISTE Ltd, London, U.K., (2006).
24. Perez, R.E. and Behdinan K., "Particle swarm approach for structural design optimization", *Computers and Structures*, Vol. 85, pp. 1579-1588, (2007).
25. Li, L.J., Huang, Z.B., Liu, F. and Wu, Q.H., "A heuristic particle swarm optimizer for optimization of pin connected structures", *Computers and Structures*, Vol. 85, pp. 340–349, (2007).
26. Herakovich, C.T., "Mechanics of Fiberous Composites", John Whiley and Sons, New York, (1998).